

中国科技论文统计源核心期刊
中国科学引文数据库核心期刊
中文核心期刊要目总览核心期刊
湖北省优秀期刊

324
Q K 2 0 5 4 5 3 7 /R

JOURNAL OF CLINICAL RADIOLOGY

临床放射学杂志

LINCHUANG FANGSHE XUE ZAZHI



ISSN 1001-9324



08>

9 771001 932201

2020 • 8

第39卷(总第361期)

临床放射学杂志

LINCHUANG FANGSHE XUE ZAZHI

月刊 1982 年 3 月创刊

第 39 卷 第 8 期

(总第 361 期)

2020 年 11 月 16 日出版

主管

黄石市卫生健康委员会

主办

临床放射学杂志社

435000 湖北省黄石市杭州路 23-22 号

协办

华中科技大学同济医学院附属协和医院
首都医科大学附属北京友谊医院
北京大学第三医院

编辑

临床放射学杂志编辑委员会

出版

临床放射学杂志社
435000 湖北省黄石市杭州路 23-22 号
电话: (0714) 6222015
传真: (0714) 6260655
E-mail: lcfszzs@bjb163.com
网址: http://www.lcfszzs.com

名誉主编 冯敢生 孔祥泉

主编 郑传胜 韩萍

常务副主编 杨帆 史河水

总编辑 韩萍

头颈部放射学栏目录主编 王振常

骨骼肌肉放射学栏目录主编 袁慧书

技术探索栏目录主编 杨正汉

社长 徐新前

副社长 何芳

排版

临床放射学杂志社编辑部

印刷

武汉科源印刷设计有限公司

发行

国内: 湖北省黄石市邮政局
国外: 中国国际图书贸易总公司
(北京 399 信箱, 100044) 代号: M6815

订购

全国各地邮政局邮发代号: 38-57

邮购

临床放射学杂志社发行部
435000 湖北省黄石市杭州路 23-22 号
电话: (0714) 6222015

定价

每期 15 元, 全年 180 元

中国标准连续出版物号

ISSN 1001-9324

CN 42-1187/R

广告经营许可证号

4202025000021

2020 年版权归黄石市
医学科技情报所所有

本刊如有印装质量问题, 可向临床
放射学杂志社发行部调换

目 次

读片窗

- 右后纵隔占位——请分析诊断
..... 徐树林, 沈金丹, 范光明等(封二)

神经放射学

- 高血压性脑出血血肿扩大相关因素分析
..... 杨耀博, 肖亮, 王生海(1467)
基于独立成分分析的脊髓型颈椎病患者静息态脑网络的
功能连接改变 占雅如, 曹源, 赵国舒等(1473)
基于 MRI 的纹理分析预测胶质瘤患者 Ki-67 表达状态的
应用价值 董丽娜, 李梦双, 许倩等(1478)
不典型中枢神经细胞瘤的 MRI 表现及误诊分析
..... 黄聪, 潘登卫, 罗军德等(1482)
基于静息态功能 MRI 对震颤型和姿势不稳/步态障碍型帕金森
病功能连接改变的研究
..... 王建伟, 贾永锋, 张克忠等(1487)
WHO II 级脊髓室管膜瘤 MRI 特征
..... 白博峰, 赵红亮, 王立学等(1494)

头颈部影像学

- 增强 3D-SPACE-STIR 序列显示外周三叉神经的价值
..... 陈翠芳, 韩海伟, 宋玉坤等(1498)

乳腺影像学

- 乳腺 X 线摄影全乳图像纹理特征与乳腺良恶性病变
相关性分析 王斌杰, 姜澳田, 陶晨晨等(1502)

胸部影像学

- 原发性胸腺神经内分泌肿瘤的临床特征及 CT 表现
..... 李俊, 杨建涛, 邓雪英等(1507)

肝胆胰脾影像学

- 肝细胞癌 IVIM 和 DCE-MRI 定量评估及相关性分析
..... 谢丽芬, 曹勃玲, 吴春晓等(1511)
肝结核的 MSCT 表现与影像分型
..... 卢洪艳, 张高峰, 吴应行(1516)
MRI 影像组学评估肝细胞肝癌的病理分级
..... 许露露, 舒健, 杨春梅(1520)
腹部滤泡树突状细胞肉瘤的 CT 表现
..... 叶敏, 李晶, 韩路军(1524)

胃肠影像学

- 形态学参数在评估肠系膜上动脉瘤稳定性中的价值
..... 陈维翠, 毛礼厅, 唐业欢等(1528)

- 胃炎性纤维性息肉的临床及 MDCT 特点分析 李爱云, 梁盼, 王雨璐等(1533)
CT 影像学及临床病理学特征在预测结肠癌肿瘤沉积中的价值 王晨, 孟闫凯, 崔莹莹等(1537)

泌尿生殖影像学

- Herlyn-Werner-Wunderlich 综合征及其变异型的 MRI 表现 张丽, 祝海怡, 唐雯等(1543)
少见部位原发性类癌的影像分析 陈优, 何来昌, 谭永明等(1548)
CT 纹理特征结合机器学习对膀胱尿路上皮癌 T 分期及病理级别的诊断价值 邹金钊, 叶靖, 徐圆(1553)
ADC 值联合 PI-RADS v2 提高临床显著前列腺癌诊断效能的价值评估 卢娴, 陈建新, 徐正道等(1559)
成人睾丸良性肿瘤的影像学特点 刘艳丽, 魏新华, 邓义等(1563)
3.0 T 磁共振扩散张量成像在老年前列腺癌诊断中的应用 李忠原, 李春香, 李国华(1567)
气肿性肾盂肾炎的影像学诊断及临床特点分析 潘红利, 侯唯妹, 李小虎等(1572)
宫颈癌体素不相干运动的直方图和纹理特征的可重复性研究 陈浩, 袁子龙, 郑丽丽等(1577)
NCE-MRA 评估动脉粥样硬化型肾动脉狭窄的应用价值 孙闻, 常时新(1583)

肌肉骨骼影像学

- 坐骨股骨撞击综合征与正常人群不同体位 MRI 的对比研究 张平, 于宝海, 邵书盈等(1587)
MRI 对复发性髌骨脱位内侧髌股韧带重建术疗效的评估价值 刘丽思, 袁慧书(1592)
基于 MRI-3D DESS 的自动软骨分割技术在髋关节骨关节炎患者软骨定量评估中的价值 李静, 杜明珊, 侯文静等(1597)
MR 扩散加权成像单指数模型、双指数模型及拉伸指数模型在脊柱转移瘤和骨髓瘤鉴别诊断中的价值 邢晓颖, 张家慧, 陈永晔等(1602)
腺泡状软组织肉瘤的临床表现与 MRI 特征 孟帆, 黎海亮, 王立峰等(1608)

儿科影像学

- 极低出生体重儿脑损伤和神经行为预后的影像学早期诊断价值 张同贞, 王程程, 张小安等(1613)
儿童异基因造血干细胞移植后肺部移植植物抗宿主病并发胸腔漏气综合征 CT 特征分析 石玉铸, 刘博锋, 常永杰等(1617)
不同重组算法对低剂量扫描条件下婴幼儿胸部 CT 图像质量的影响 刘奕, 边传振, 姜辉等(1620)
3D-FIESTA 与高分辨率 CT 对儿童内耳不全分隔 I 型畸形并自发性脑脊液耳漏的诊断价值 王冬, 胡文, 陈超等(1626)
儿童系统性红斑狼疮并发骨梗死的 MRI 表现 张琦, 王葵亮, 邱庆琢等(1630)
3.0 T ¹H-MRS 扫描技术在新生儿胆红素脑病诊断及预后分析中的应用价值 张钊, 刘朝艳, 马永倩等(1633)

介入放射学

- 经皮胆管介入治疗胆肠吻合口良性狭窄 王向东, 葛乃建, 何成建等(1639)
Solitaire AB 支架取栓对比单纯置管溶栓治疗急性肢体缺血的研究 周阳逸, 苏浩波, 何旭等(1643)

实验研究

- CT 引导下 ¹²⁵I 粒子植入术联合 PC 化疗对 IIIa 期非小细胞肺癌患者血清癌胚抗原、鳞状细胞癌抗原水平及生存质量的影响 史岩鹏(1649)

临床初探

- 基于 AAPM 293 报告的体型特异性辐射剂量估计在成人头部 CT 扫描中的应用价值 彭伟, 袁子龙, 潘宁等(1655)
3D 背景识别深度学习系统在胸腔积液检出中的价值研究 董健, 黄浩, 赵晴晴等(1659)

综述

- 影像组学在直肠癌的应用进展 王铮, 谢东, 李强(1662)
深度学习在骨关节医学影像中的研究及应用进展 穆琳, 裴昀, 冬冬等(1666)

病例报告

- 胃滑膜肉瘤一例 杨倩, 聂婷婷, 张水霞等(1492)

信息窗

- 欢迎订阅《临床放射学杂志》 (1532)

JOURNAL OF CLINICAL RADIOLOGY

Sponsor

Huangshi Institute for Medical Scientific and Technical Information
23 - 22, Hangzhou Road, Huangshi,
Hubei 435000, China

Published-cooperate with

Beijing Friendship Hospital,
Capital Medical University
Peking University Third Hospital

Editing

Editorial Board of Journal of Clinical Radiology
23 - 22, Hangzhou Road, Huangshi,
Hubei 435000, China
Tel: (0714) 6222015
Fax: (0714) 6260655

Publishing

Publishing House of Journal of Clinical Radiology
23 - 22, Hangzhou Road, Huangshi,
Hubei 435000, China
Tel: (0714) 6222015
Fax: (0714) 6260655
E-mail: lcfsxzszbj@163.com
<http://www.lcfsxzz.com>

Honorary Editor-in-Chief

FENG Gansheng KONG Xiangquan

Editor-in-Chief

ZHENG Chuansheng HAN Ping

Standing Deputy Editor

YANG Fan SHI Heshui

Chief Editor HAN Ping

Editor-in chief of the Head and Neck imaging Column

WANG Zhenchang

Editor-in chief of Musculoskeletal Radiology Section

YUAN Huishu

Editor-in chief of Technical Exploration Column

YANG Zhenghan

Proprieter XU Xinqian

Deputy Proprieter HE Fang

Typeset

Typesetting department, Publishing House of Journal of Clinical Radiology

Printing

Wuhan Keyuan Printing and Design Co. Ltd

Overseas Distributor

China International Book Trading Corporation
P. O. Box 399, Beijing, China
Code No. M6815

Contents of Original Article

Analysis of Factors Associated Hematoma Enlargement in Hypertensive Cerebral Hemorrhage

YANG Yaobo, XIAO Liang, WANG Shenghai (1467)

Study of Functional Connectivity Alterations of Resting State Network in Patients With Cervical Spondylotic Myelopathy Based on ICA

ZHAN Yaru, CAO Yuan, ZHAO Guoshu, et al (1473)

The Value of Texture Analysis Based on MRI in Predicting the Expression of Ki-67 in Patients with Glioma

DONG Lina, LI Mengshuang, XU Qian, et al (1478)

Analysis of MRI Manifestations and Misdiagnoses of Atypical Central Neurocytoma

HUANG Cong, GAN Dengwei, LUO Junde, et al (1482)

A Study on Resting-State Functional Connectivity MRI of Tremor-Dominant and Postural Instability Gait Disturbances Subtype Parkinson's Disease

WANG Jianwei, JIA Yongfeng, ZHANG Kezhong, et al (1487)

MR Imaging Characteristics of WHO Grade II Spinal Ependymoma

BAI Bofeng, ZHAO Hongliang, WANG Lixue, et al (1494)

The Value of Enhanced 3D-SPACE-STIR Sequence in Detecting the Peripheral Trigeminal Nerve

CHEN Cuifang, HAN Haiwei, SONG Yukun, et al (1498)

Analysis of the Correlation Betweenfull-Field Mammographic Image Texture Features and Benign or Malignant Breast Lesions

WANG Binjie, JIANG Aotian, TAO Chenchen, et al (1502)

Clinical Features and CT Manifestations of Primary Thymic Neuroendocrine Tumor

LI Jun, YANG Jiantao, DENG Xueying, et al (1507)

Quantitative Evaluation and Correlation Analysis of Hepatocellular Carcinoma with IVIM and DCE-MRI

XIE Lifen, CAO Boling, WU Chunxiao, et al (1511)

MSCT Manifestation and Image Classification of Hepatic Tuberculosis

LU Hongyan, ZHANG Gaofeng, WU Yingxing (1516)

Evaluation of Pathological Grading in Hepatocellular Carcinoma by Radiomics Signature of MRI

XU Lulu, SHU Jian, YANG Chunmei (1520)

Computer Tomography Imaging Findings of Abdominal Follicular Dendritic Cell Sarcoma	
YE Min, LI Jing, HAN Lujun	(1524)
Role of Morphological Parameters in Evaluating the Stability of Superior Mesenteric Artery Aneurysms	
CHEN Weicui, MAO Litin, TANG Yehuan, et al	(1528)
Clinical and MDCT Characteristics of Gastritis Inflammatory Fibroid Polyp	
LI Aiyun, LIANG Pan, WANG Yu, et al	(1533)
The Value of Enhancement CT and Clinicopathologic Characteristics for Predicting Colon Cancer Tumor Deposits	
WANG Chen, MENG Yankai, CUI Yingying, et al	(1537)
MRI Features in Diagnosis of Classical and Variant Herlyn-Werner-Wunderlich Syndrome	
ZHANG Li, ZHU Haiyi, TANG Wen, et al	(1543)
Imaging and Pathological Features of Primary Carcinoid Tumors in the Rare Region	
CHEN You, HE Laichang, TAN Yongming, et al	(1548)
The Diagnostic Value of CT Radiomics in T Staging and Pathological Grade of Bladder Urothelial Carcinoma	
ZHOU Jinzhao, YE Jing, XU Yuan	(1553)
Combination of ADC values with PI-RADS v2 in Improvement of Diagnostic Efficacy for Clinically Significant Prostate Cancer	
LU Xian, CHEN Jianxin, XU Zhengdao, et al	(1559)
Imaging Features of Adult Benign Testis Tumors	
LIU Yanli, WEI Xinhua, DENG Yi, et al	(1563)
3.0 T Diffusion Tensor Imaging (DTI) in the Diagnosis of Prostate Cancer in the Elderly	
LI Zhongyuan, LI Chunxiang, LI Guohua	(1567)
Imaging Diagnosis and Clinical Characteristics of Emphysema Pyelonephritis	
PAN Hongli, HOU Weishu, LI Xiaohu, et al	(1572)
Reproducibility of Histogram and Texture Features Derived from Intravoxel Incoherent Motion Diffusion-Weighted MRI of Cervical Cancer	
CHEN Hao, YUAN Zilong, ZHENG Lili, et al	(1577)
Application Value of NCE-MRA in Evaluating Atherosclerotic Renal Artery Stenosis	
SUN Chuang, CHANG Shixin	(1583)
Comparative Study of Different Position MRI of Ischiofemoral Impingement Syndrome and Normal People	
ZHANG Ping, YU Baohai, SHAO Shuying, et al	(1587)
The Value of MRI in the Evaluation of Medial Patellofemoral Ligament Reconstruction of Recurrent Patellar Dislocation	
LIU Lisi, YUAN Huishu	(1592)
Automatic Cartilage Segmentation Based on MRI-3D DESS for Quantitative Evaluation of the Cartilage in the Hip OA Patients	
LI Jing, DU Mingshan, HOU Wenjing, et al	(1597)
Value of Monoexponential, Biexponential and Stretched-exponential Models of Diffusion-Weighted Magnetic Resonance Imaging in the Differential Diagnosis of Metastases and Myeloma in the Spine	
XING Xiaoying, ZHANG Jiahui, CHEN Yongye, et al	(1602)
Alveolar Soft Tissue Sarcoma: Clinical Manifestations and MRI Features	
MENG Fan, LI Hailiang, WANG Lifeng, et al	(1608)

(下转第 1670 页)

(上接目录尾页)

**Early Diagnostic Value of Imaging for Brain Injury and Neurobehavioral Prognosis
in Very Low Birth Weight Infants**

ZHANG Tongzhen, WANG Chengcheng, ZHANG Xiaoan, et al (1613)

**CT Characteristics of Pulmonary Graft-versus-host Disease Complicated with Thoracic Air Leakage
Syndrome after Allogeneic Hematopoietic Stem Cell Transplantation in Children**

SHI Yuzhu, LIU Bofeng, CHANG Yongjie, et al (1617)

**The Influence of Different Reconstruction Algorithms on the Image Quality of Infant Chest CT
under the Condition of Low Dose Scanning**

LIU Yi, BIAN Chuanzhen, JIANG Hui, et al (1620)

**Utility of 3D-FIESTA and HRCT in Detection of Cerebrospinal Fluid Otorrhea Associated
with Incomplete Partition Type I Deformity in Children**

WANG Dong, HU Wen, CHEN Chao, et al (1626)

Value of MRI in Diagnosis of Bone Infarction in Children with Systemic Lupus Erythematosus

ZHANG Qi, WANG Kuiliang, QIU Qingzhuo, et al (1630)

Value of 3.0 T ¹H-MRS Scanning in Diagnosis and Prognosis of Acute Bilirubin Encephalopathy

ZHANG Zhao, LIU Chaoyan, MA Yongqian, et al (1633)

Percutaneous Biliary Intervention in the Treatment of Benign Stenosis of Choledochojejunostomy

WANG Xiangdong, GE Naijian, HE Chengjian, et al (1639)

**Percutaneous Mechanical Thrombectomy Using the Solitaire AB Device Versus Catheter-directed
Thrombolysis Alone in the Treatment of Acute Limb Ischemia**

ZHOU Yangyi, SU Haobo, HE Xu, et al (1643)

Effect of CT-Guided ¹²⁵I Seed Implantation Combined with PC Chemotherapy on Serum

**Carcinoembryonic Antigen and Squamous Cell Carcinoma Antigen Levels and Quality of
Life in Patients with Stage III a Non-Small Cell Lung Cancer**

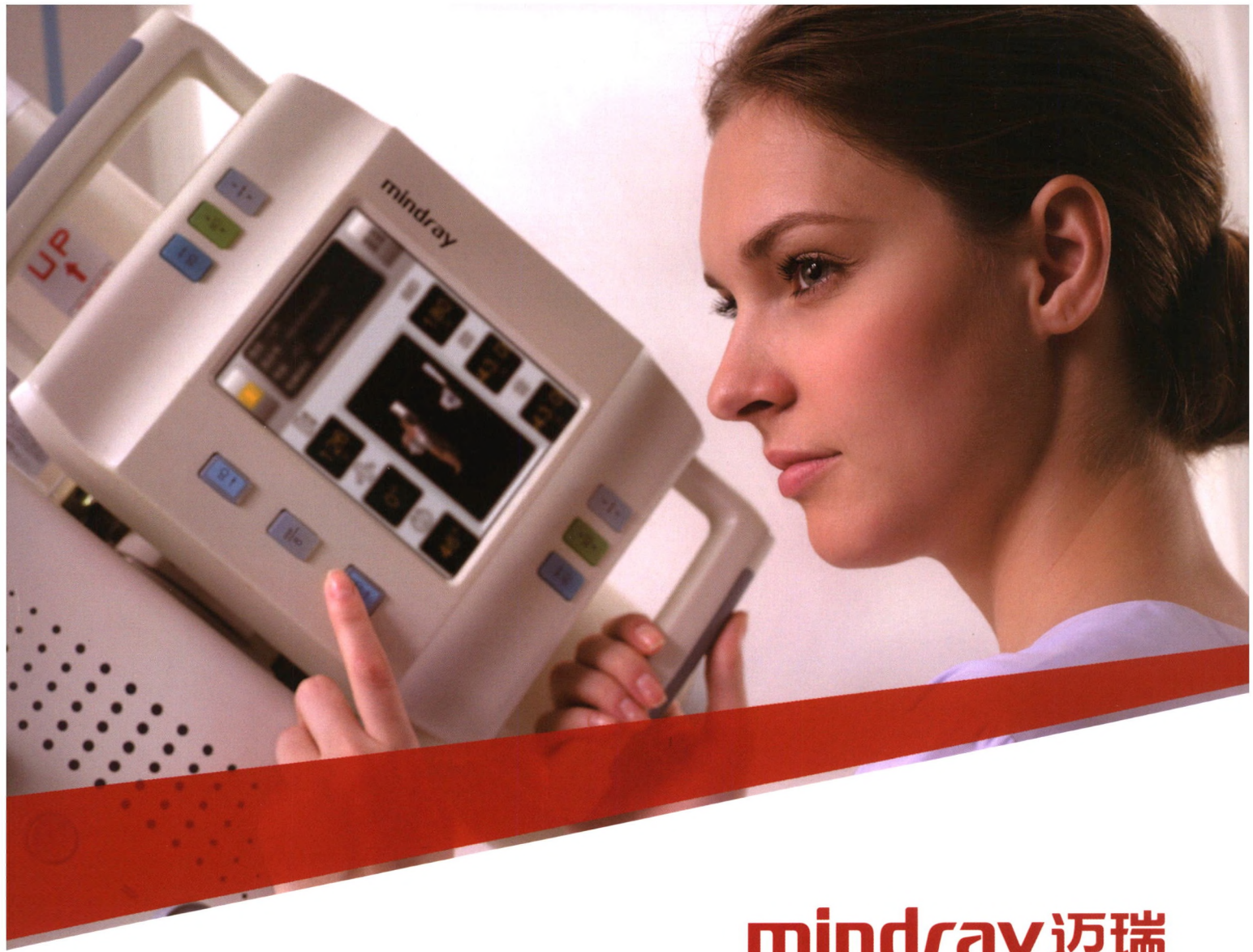
SHI Yanpeng (1649)

Application of Size-specific Dose Estimation Based on AAPM 293 Report in Adult Head CT Scan

PENG Wei, YUAN Zilong, PAN Ning, et al (1655)

3D Context-aware Deep Learning System in Detection of Pleural Effusion: A Preliminary Study

DONG Jian, HUANG Hao, ZHAO Qingqing, et al (1659)



mindray 迈瑞

Levels 多面手 一手掌控

图像采集工作站软件

- 多界面同屏，一览无余
- 自定义模块，按需布局
- 智能工作流，轻松自如

DigiEye680
数字化医用X射线摄影系统
粤食药监械（准）字2014第2301343号

深圳迈瑞生物医疗电子股份有限公司
总部：深圳市南山区高新技术产业园区科技南十二路迈瑞大厦1-4层
粤医械广审（文）第2018050801号
禁忌内容或注意事项详见说明书。

